

高 等 学 校 教 材

电 机 学

武汉水利电力学院 陈道舜 主编

水利电力出版社

PDG

高等学校教材
电 机 学
武汉水利电力学院 陈道舜 主编
*
水利电力出版社出版
(北京三里河路6号)
新华书店北京发行所发行 各地新华书店经售
水利电力出版社印刷厂印刷
*
787×1092毫米 16开本 22.25印张 498千字
1987年11月第一版 1987年11月北京第一次印刷
印数00001—10090册
ISBN7-120-00055-1/TV·42
15143·6490 定价 3.70 元



内 容 提 要

本书为高等学校水电站动力装置工程专业与机电排灌工程专业的通用教材，也可供水利水电工程技术人员参考。

全书分五篇共二十二章。第一篇论述变压器的类型、构造、原理、性能和工况等；第二篇论述交流电机绕组、电势和磁势等；第三篇论述异步电动机的类型、构造、原理、性能和工况等；第四篇论述同步电机的构造、原理、性能和工况、发热和冷却以及同步电机励磁等；第五篇论述直流电机的类型、构造、原理和性能等。

前　　言

本书是根据1982年10月在西安召开的水电站动力装置工程专业教材会议制定的电机学教学大纲与1983年4月在武汉召开的水利水电专业电类教材会议审议的水电站动力装置工程专业、机电排灌工程专业教学大纲编写的。

本书由武汉水利电力学院陈道舜副教授主编，华北水利水电学院周念祖同志、河海大学熊寿昌同志与陕西机械学院雷践仁同志参加编写，由陕西机械学院侯恩奎副教授主审。

周念祖同志编写第一至五章；熊寿昌同志编写第十四、十五、十六、十八与十九章；雷践仁同志编写第六、十七、二十一与二十二章；陈道舜同志编写概论、第八至十三章、第二十章与附录一、二。此外，陈道舜同志与雷践仁同志合编了第七章。

本书在编写过程中，承湖北工学院周克定教授提出宝贵意见，华中工学院陶醒世教授对本书进行了润色，武汉水利电力学院陈运校同志也参加了润色工作，在此表示感谢。

本书承沈阳变压器研究所、哈尔滨电机厂、东方电机厂与上海电机厂提供有关资料，在此致以谢意。

由于经验不足，本书可能有不少缺点，欢迎读者批评指正。

主要符号表

| | | | |
|------------------|---------------------------|------------------|--------------------------|
| a | 直流电枢绕组并联支路对数; 交流绕组每相并联支路数 | I_0 | 激磁电流、空载电流 |
| B_s | 气隙磁密 | I_q | 同步电机电枢电流的交轴分量(交轴电流) |
| B_d | 电枢反应磁场磁密 | I_{st} | 起动电流 |
| B_{ad} | 直轴电枢反应磁场磁密 | I_p | 磁化电流 |
| B_{aq} | 交轴电枢反应磁场磁密 | k_M | 过载能力 |
| B_{f1} | 励磁磁场的基波磁密 | k | 变比 |
| C | 常数; 电容 | k_s | 自耦变压器变比; 隐极同步电机电枢磁势的折算系数 |
| C_s | 电势常数 | k_μ | 饱和系数 |
| C_M | 转矩常数 | k_d, k_e | 直轴、交轴电枢磁密分布曲线的波形系数 |
| E_d | 直流电机感应电势; 交流电机电枢反应电势 | k_{ad}, k_{ae} | 直轴、交轴电枢磁势的折算系数 |
| E_0 | 空载电势 | k_{e1} | 电势或磁势基波的绕组分布系数 |
| E_m | 电势最大值 | k_{y1} | 电势或磁势基波的绕组节距系数 |
| E_1, E_2 | 原、副边主电势 | k_{w1} | 电势或磁势基波的绕组系数 |
| E_{1o}, E_{2o} | 原、副边漏电势 | k_c | 短路比 |
| E_{ad} | 直轴电枢反应电势 | M | 转矩; 互感; 电磁转矩 |
| E_{aq} | 交轴电枢反应电势 | M_N | 额定转矩 |
| e_L | 自感电势 | M_{em} | 电磁转矩 |
| e_M | 互感电势 | M_1 | 原动机转矩; 输入转矩 |
| F_d | 电枢磁势(基波幅值) | M_2 | 负载转矩; 输出转矩 |
| F_{ad} | 直轴电枢磁势(基波幅值) | M_0 | 空载制动转矩 |
| F_{aq} | 交轴电枢磁势(基波幅值) | m | 相数 |
| F_{f1} | 励磁磁势(基波幅值) | n_N | 额定转速 |
| F_s | 气隙磁势(基波幅值) | n_1 | 同步转速; 定子基波旋转磁场转速 |
| F_1, F_2 | 原、副边磁势(基波幅值) | P_{mecc} | 机械功率 |
| F_0 | 励磁磁势, 空载磁势 | P_1 | 输入功率 |
| f_N | 额定频率 | P_2 | 输出功率 |
| f_1 | 异步电机定子频率 | P_0 | 空载功率(空载损耗用 p_0) |
| f_2 | 异步电机转子频率 | p | 损耗; 极对数 |
| I_f | 励磁电流 | p_{Cu} | 铜耗(电阻损耗) |
| I_a | 电枢电流 | p_{Fe} | 铁耗 |
| I_d | 同步电机电枢电流的直轴分量(直轴电流) | p_{mecc} | 机械损耗 |
| I_N | 额定电流 | p_{ad} | 附加损耗 |
| I_b | 短路电流 | q | 每极每相槽数 |
| I_L | 负载电流 | R_{st} | 起动电阻 |

| | | | |
|----------------------------------|------------------|------------------------|-------------------|
| R_a | 电枢回路总电阻 | Z_d | 转子漏阻抗(复数) |
| R_f | 励磁回路总电阻 | Z_L | 负载阻抗 |
| R_L | 负载电阻 | Z_s | 短路阻抗 |
| r_a | 电枢绕组内电阻 | z | 复数阻抗的模(绝对值) |
| r_f | 励磁绕组内电阻 | α | 系数; 角度 |
| r_k | 短路电阻 | β | 系数; 角度 |
| S_N | 额定视在功率(额定容量) | γ | 电导率; 短距角 |
| s | 转差率 | δ | 气隙长度 |
| s_m | 发生最大电磁转矩时的转差率 | η_N | 额定效率 |
| s_n | 额定转差率 | η_{max} | 最大效率 |
| T | 时间常数; 周期 | θ | 温度; 功率角 |
| U_N | 额定电压 | μ | 磁导率 |
| U_ϕ, U_l | 分别为相电压、线电压 | Φ | 磁通; 每极磁通; 变压器的主磁通 |
| u | 电压瞬时值; 虚槽数 | Φ_m | 主磁通最大值 |
| u_k | 阻抗电压(短路电压) | Φ_o | 漏磁通 |
| w_1, w_2 | 变压器原、副绕组匝数 | ϕ_{1o}, ϕ_{2o} | 原、副绕组漏磁通的瞬时值 |
| x_+, x_-, x_0 | 正序、负序、零序电抗 | ϕ | 相位角(功率因数角) |
| x_{1o}, x_{2o} (或 x_1, x_2) | 原、副绕组漏电抗 | ψ | 相位角(内功率因数角); 磁链 |
| x_k | 短路电抗 | Ω | 机械角速度 |
| y | 节距; 合成节距 | Ω_1 | 同步角速度 |
| Z_1, Z_2 | 原、副绕组漏阻抗或异步电机定子。 | ω | 角频率 |

目 录

前言

主要符号表

| | |
|-----------------------|---|
| 概论 | 1 |
| 第一节 电机的作用 | 1 |
| 第二节 电机的理论基础 | 1 |
| 第三节 电机的主要类型 | 6 |
| 第四节 电机学的任务与学习方法 | 7 |
| 习题 | 7 |

第一篇 变 压 器

| | |
|--------------------------------------|----|
| 第一章 变压器的基本工作原理、类别和结构 | 9 |
| 第一节 变压器的基本工作原理 | 9 |
| 第二节 变压器的用途和分类 | 9 |
| 第三节 变压器的结构与额定值 | 12 |
| 小结 | 17 |
| 习题 | 17 |
| 第二章 变压器的基本原理 | 18 |
| 第一节 概述 | 18 |
| 第二节 变压器的空载运行 | 18 |
| 第三节 变压器的负载运行 | 24 |
| 第四节 变压器参数的测定 | 30 |
| 第五节 标么值 | 36 |
| 第六节 电压变化率及电压调节 | 39 |
| 第七节 变压器的损耗和效率 | 42 |
| 小结 | 45 |
| 习题 | 46 |
| 第三章 三相变压器 | 47 |
| 第一节 概述 | 47 |
| 第二节 三相变压器的磁路系统 | 48 |
| 第三节 三相变压器的电路系统——绕组的连接法和连接组 | 50 |
| 第四节 三相变压器绕组的连接法和磁路系统对空载电势波形的影响 | 55 |
| 第五节 变压器的并联运行 | 57 |
| 第六节 变压器的 \vee/\vee 连接组 | 64 |
| 小结 | 65 |
| 习题 | 65 |

| | |
|---------------------|----|
| 第四章 变压器的瞬变过程 | 67 |
| 第一节 概述 | 67 |
| 第二节 变压器的空载合闸 | 67 |
| 第三节 变压器的副边突然短路 | 70 |
| 第四节 变压器的过电压及其防护 | 73 |
| 小结 | 74 |
| 习题 | 75 |
| 第五章 特殊变压器 | 75 |
| 第一节 概述 | 75 |
| 第二节 三绕组变压器 | 75 |
| 第三节 自耦变压器 | 83 |
| 第四节 仪用互感器 | 88 |
| 小结 | 89 |
| 习题 | 89 |

第二篇 交流电机的绕组、电势和磁势

| | |
|-----------------------|-----|
| 第六章 交流电机的绕组和电势 | 91 |
| 第一节 概述 | 91 |
| 第二节 槽电势星形图 | 93 |
| 第三节 三相绕组 | 94 |
| 第四节 在正弦分布磁场下的绕组电势 | 98 |
| 第五节 在非正弦分布磁场下绕组的谐波电势 | 102 |
| 第六节 电势中谐波的削弱方法 | 103 |
| 第七节 分数槽绕组 | 106 |
| 小结 | 109 |
| 习题 | 110 |
| 第七章 交流电机绕组的磁势 | 111 |
| 第一节 概述 | 111 |
| 第二节 单相绕组的脉振磁势 | 111 |
| 第三节 三相绕组合成磁势的基波 | 117 |
| 第四节 三相绕组合成磁势的高次谐波 | 121 |
| 小结 | 123 |
| 习题 | 123 |

第三篇 异步电机

| | |
|-------------------------|-----|
| 第八章 异步电机的结构与运行状态 | 124 |
| 第一节 概述 | 124 |
| 第二节 异步电动机的基本工作原理 | 124 |
| 第三节 异步电机的三种运行状态 | 126 |
| 第四节 异步电机的主要结构部件 | 127 |

| | |
|--|------------|
| 第五节 异步电动机的额定值 | 130 |
| 第六节 国产异步电机简介 | 131 |
| 小结 | 132 |
| 习题 | 133 |
| 第九章 异步电动机的运行原理 | 133 |
| 第一节 概述 | 133 |
| 第二节 转子静止时的异步电机 | 133 |
| 第三节 转子旋转时的异步电机 | 139 |
| 小结 | 148 |
| 习题 | 148 |
| 第十章 异步电动机的电磁转矩 | 149 |
| 第一节 概述 | 149 |
| 第二节 异步电动机中的能量转换关系、功率和转矩平衡方程 | 149 |
| 第三节 电磁转矩与磁通和转子电流的关系 | 152 |
| 第四节 电磁转矩与转差率，最大转矩与起动转矩 | 154 |
| 第五节 $M=f(s)$ 曲线上的稳定运行区域 | 158 |
| 第六节 转矩的实用计算公式 | 159 |
| 小结 | 160 |
| 习题 | 161 |
| 第十一章 异步电动机的工作特性 | 162 |
| 第一节 概述 | 162 |
| 第二节 异步电动机的工作特性 | 162 |
| 第三节 用直接负载法求取工作特性 | 163 |
| 第四节 异步电机参数的测定与工作特性的求取 | 165 |
| 小结 | 168 |
| 习题 | 168 |
| 第十二章 三相异步电动机的起动和调速 | 168 |
| 第一节 概述 | 168 |
| 第二节 异步电动机的起动性能 | 168 |
| 第三节 异步电动机的起动方法 | 169 |
| 第四节 异步电动机的调速 | 176 |
| 小结 | 179 |
| 习题 | 180 |
| 第十三章 三相异步电动机在不对称电压下运行以及其它异步电机 | 180 |
| 第一节 概述 | 180 |
| 第二节 对称分量法 | 181 |
| 第三节 在不对称电压下运行的三相异步电动机与椭圆形旋转磁势 | 183 |
| 第四节 单相异步电动机 | 184 |
| 第五节 感应调压器与移相器 | 188 |
| 第六节 自整角机 | 189 |

| | |
|-------------------|-----|
| 第七节 交流伺服电动机 | 191 |
| 小结 | 192 |
| 习题 | 193 |

第四篇 同步电机

| | |
|--|------------|
| 第十四章 同步电机基本工作原理与结构 | 194 |
| 第一节 同步电机的基本工作原理 | 194 |
| 第二节 同步电机的结构 | 195 |
| 第三节 同步电机的额定值 | 209 |
| 第四节 国产同步电机简介 | 209 |
| 小结 | 210 |
| 习题 | 210 |
| 第十五章 同步发电机的对称运行 | 211 |
| 第一节 概述 | 211 |
| 第二节 同步发电机的空载运行 | 211 |
| 第三节 对称负载时的电枢反应 | 215 |
| 第四节 电枢反应电抗和同步电抗 | 219 |
| 第五节 同步发电机的电势方程式和相量图 | 224 |
| 第六节 同步发电机的短路特性、零功率因数特性、电机参数及短路比的确定 | 229 |
| 第七节 同步发电机的外特性和调节特性 | 236 |
| 小结 | 239 |
| 习题 | 240 |
| 第十六章 同步发电机与大电网并联运行 | 241 |
| 第一节 概述 | 241 |
| 第二节 投入并联运行的条件和方法 | 241 |
| 第三节 同步发电机的功角特性 | 246 |
| 第四节 并网运行时同步发电机有功功率的调节 | 251 |
| 第五节 并网运行时同步发电机无功功率的调节 | 255 |
| 第六节 容量相近的两台同步发电机并联运行 | 257 |
| 小结 | 258 |
| 习题 | 258 |
| 第十七章 同步电动机和同步调相机 | 259 |
| 第一节 概述 | 259 |
| 第二节 同步电动机 | 259 |
| 第三节 同步电动机的基本方程式、相量图和功角特性 | 260 |
| 第四节 无功功率的调节 | 264 |
| 第五节 同步电动机的起动 | 265 |
| 第六节 同步电动机的工作特性 | 271 |
| 第七节 同步调相机 | 272 |
| 小结 | 273 |

| | |
|---|------------|
| 习题 | 274 |
| 第十八章 同步发电机的不对称运行 | 274 |
| 第一节 概述 | 274 |
| 第二节 不对称运行的概念 | 275 |
| 第三节 不对称稳定运行时的各相序电抗 | 275 |
| 第四节 单相及两相稳定短路 | 279 |
| 第五节 不对称运行对电机的影响 | 283 |
| 小结 | 283 |
| 习题 | 284 |
| 第十九章 同步电机的突然短路 | 284 |
| 第一节 概述 | 284 |
| 第二节 分析同步电机过渡过程的简化方法 | 285 |
| 第三节 对称突然短路的物理过程 | 286 |
| 第四节 瞬变电抗和超瞬变电抗的基本概念及其测定方法 | 291 |
| 第五节 突然短路电流表达式及衰减时间常数 | 295 |
| 第六节 突然短路与同步电机及电力系统的关系 | 299 |
| 小结 | 300 |
| 习题 | 301 |
| 第二十章 同步电机的损耗和效率、发热和冷却及励磁方式 | 301 |
| 第一节 同步发电机的损耗和效率 | 301 |
| 第二节 同步发电机的发热和冷却 | 303 |
| 第三节 同步电机的励磁方式 | 305 |
| 小结 | 307 |
| 习题 | 307 |

第五篇 直流 电 机

| | |
|-------------------------------|------------|
| 第二十一章 直流发电机 | 308 |
| 第一节 直流电机的构造和基本工作原理 | 308 |
| 第二节 直流电机的电枢绕组、感应电势和电磁转矩 | 312 |
| 第三节 电枢反应 | 317 |
| 第四节 直流电机的电势、功率和转矩平衡方程式 | 319 |
| 第五节 并励发电机和复励发电机 | 320 |
| 第六节 直流电机的换向 | 324 |
| 第七节 直流测速发电机 | 326 |
| 小结 | 327 |
| 习题 | 328 |
| 第二十二章 直流电动机 | 328 |
| 第一节 直流电动机的电势、功率和转矩平衡方程式 | 328 |
| 第二节 直流电动机的机械特性 | 330 |
| 第三节 直流电动机的起动与调速 | 332 |

| | |
|--------------------|-----|
| 第四节 直流伺服电动机 | 335 |
| 小结 | 336 |
| 习题 | 336 |
| 附录一 电机中常用绝缘材料的耐热等级 | 337 |
| 附录二 习题中计算题的答案 | 338 |
| 主要参考书目 | 342 |

概 论

第一节 电 机 的 作 用

电能在生产、传输、分配、使用等方面都比较方便。所以在现代工农业生产、交通运输、国防工程以及日常生活中，电能的使用均占有十分重要的地位。

电机的作用主要表现在下述三个方面：

(1) 发电机和变压器 发电机一般由汽轮机、水轮机带动。汽轮机、水轮机分别把热能、水能转化为机械能，再通过发电机转化为电能。变压器可以将发电机的电压升高，通过输电线把电能送到用电中心。然后再用变压器将电压降低供用户使用。

(2) 电动机 工农业、交通运输业、国防等各部门中生产机械和装备的运转，绝大多数是由电动机驱动的。例如在农业中的电力排灌、脱粒以及农副产品加工等；采矿工业中的碎料、送料、送风、给水等；机械工业中各种机床的驱动；交通运输用电气机车牵引等，都要采用各种型式的电动机。

(3) 控制电机 随着经济建设的发展，工业生产自动化程度不断提高，需要采用各式各样的控制电机。

在解放前，我国电机工业主要是搞些修理与装配，根本谈不上什么电机制造工业。解放后，在党的英明领导下，通过自力更生、艰苦奋斗，我国已建立起完整的电机制造工业体系，有了统一的国家标准。目前，我国已能制造330kV、36万kVA电力变压器，已能制造双水内冷、30万kW的大型水轮发电机、60万kW大型汽轮发电机。各种电机都有了系列产品。同时，我国的电机制造业还大量采用新材料、新工艺、新技术，不断生产出适应国民经济发展的新产品。

第二 节 电 机 的 理 论 基 础

电机的原理基本上建立在下列几个定律与概念的基础上：1) 全电流定律与磁路欧姆定律；2) 电磁感应定律；3) 电磁力定律；4) 自感与互感概念；5) 基尔霍夫定律；6) 能量守恒定律。

以下重点复习全电流定律和自感与互感的概念。

一、全电流定律

如图(0-1)所示。设空间有 n 根(设为3根)载流导体，导体的电流分别 i_1 、 i_2 、 i_3 ，这些载流导体为任何闭合路径 l 所包围着。通过试验，发现磁场与建立它的电流之间存在着下述关系：磁场强度矢量 H 沿空间任意闭合回路的线积分等于该回路所包围的导体电流的代数和。这就是全电流定律，其数学表达式为

$$\oint \vec{H} \cdot d\vec{l} = \Sigma i \quad (0-1)$$

其中电流的方向是这样选定的，把回路的线积分方向比作右手螺旋的旋转方向，则电流方向与螺旋前进的方向一致的为正电流，相反的为负电流。在图 0-1 中， i_2 、 i_3 为正， i_1 为负。

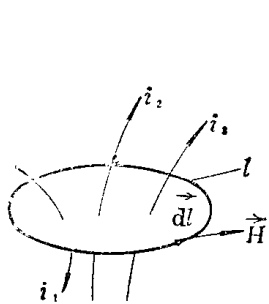


图 0-1 全电流定律

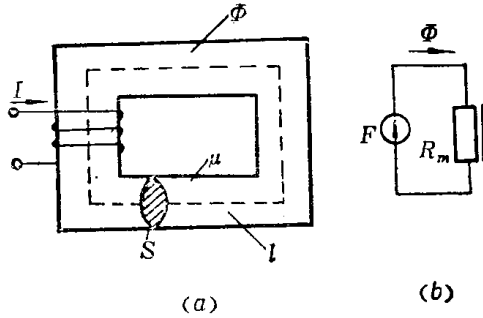


图 0-2 无分支磁路
(a) 实际磁路图；(b) 等效磁路图

在磁路的分析计算中，常用到磁路欧姆定律，它可以从全电流定律推导出来。

设有图 0-2 (a) 所示的无分支磁路，它由铁磁物质（铁磁物质系指铁、钴、镍及其合金，例如硅钢片）所叠成，其横截面为 S ，磁路平均长度为 l 。如果磁路的平均长度比其横截面的线性尺寸大得多，则可近似认为磁通在横截面上的分布是均匀的，即有

$$\Phi = BS$$

式中， B 是其中心线上的磁感应强度，也称磁通密度，简称磁密。

根据全电流定律，可得

$$\oint \vec{H} \cdot d\vec{l} = Hl = wI$$

式中 w 为励磁绕组匝数。

考虑到 $B = \mu H$ ，由以上各式可以导出磁通为

$$\Phi = (\mu H)S = \left(\frac{\mu wI}{l}\right)S = \frac{wI}{\frac{l}{\mu S}} = \frac{F}{R_m} \quad (0-2)$$

式中 F —— 磁势；

R_m —— 磁阻。

这就是磁路的欧姆定律，它与电路的欧姆定律形式上相似。磁阻 R_m 的倒数为磁导 λ_m ，

$$\text{即 } \lambda_m = \frac{1}{R_m}.$$

图 0-2 (b) 为仿照电路形式绘出的等效磁路图，电阻图形符号侧面加线条的表示非线性磁阻。铁心磁阻为非线性磁阻。

磁路与电路有许多相似之处，现将这两者的对比示于表 0-1 中。

如果无分支磁路由具有不同截面或不同材料的几段所组成，例如各段磁路的截面不同但材料相同或截面相同但材料不同，此时通过各截面的磁通应相等，均为 Φ ，可以得到下面较一般的表达式

$$\left. \begin{aligned} \Sigma F &= \Phi \Sigma R_m \\ \Sigma wI &= \Phi \Sigma R_m \end{aligned} \right\} \quad (0-3)$$

其中 ΣF (或 ΣwI) 为总磁势 (当 I 的方向与 Φ 的方向符合右手螺旋关系时, wI 前取 “+” 号, 反之取 “-” 号), ΣR_m 为各段磁阻的总和。

必须指出, 磁路与电路虽有许多相似之处, 但却有一个本质的差别, 即磁通并不象电流那样代表某种质点的运动; 恒定磁通通过磁阻, 并不象恒定电流通过电阻时那样具有能量形式的转换。并且, 由于铁磁物质的磁导率 μ 不是常数, 它随磁场强度 H 而变化, 故磁阻也不是常数, 使得我们不能直接利用磁路的欧姆定律, 而不得不利用下述方法进行计算。

无分支磁路的计算有两种, 一种是已知磁势和磁路的几何尺寸求磁通; 另一种是已知磁通和磁路的几何尺寸求磁势。由于磁路的非线性, 使得铁心磁阻不是常数, 故上述两种计算, 必须根据所用材料的磁化曲线, 才能进行。

无分支磁路计算的顺序是: 已知磁通 $\Phi \rightarrow$ 找出各段磁感应强度 $B_k = \frac{\Phi}{S_k} \rightarrow$ 由磁化曲线查出各段的 $H_k \rightarrow$ 由 $\sum H_k l_k = wI$ 找到磁势 $F = wI$ 。

对于空气隙, 由于磁导率 μ_0 为常数, 已知 B_a 可以用下面的公式求 H_a 。如果 B_a 的单位用 T, H_a 的单位用 A/m, 由于空气的磁导率 $\mu_0 = 4\pi \times 10^{-7}$ H/m, 则

$$H_a = \frac{B_a}{\mu_0} = \frac{B_a}{4\pi \times 10^{-7}} = 0.8 B_a \times 10^6 \quad (0-4)$$

铁心的净截面积等于从视在截面积中扣除其中绝缘材料的截面积后剩余的面积, 一般用视在截面积乘填充系数来求。填充系数 $K = \frac{\text{净截面积}}{\text{视在截面积}}$, 一般 K 在 0.91 左右。

几种常用材料的磁化曲线, 如图 0-3 所示。

[例 0-1] 如图 0-4(a) 所示的磁路具有励磁线圈 200 匝, 磁路各部分尺寸均已在图中标出, 其单位为 mm。磁路用 0.5 mm 厚的 D11 硅钢片叠成, 其填充系数 $K = 0.91$, 忽略气隙的边缘效应 (在空气隙中, 磁通有向外扩张的效应, 使得气隙截面积大于邻近铁心的截面积, 如忽略此效应, 则气隙截面积等于所邻近铁心的截面积)。求在此磁路中建立 $\Phi = 3 \times 10^{-3}$ Wb 的磁通所需的励磁电流。图 0-4(b) 示出其等效磁路图, 其中, 电阻图形符号侧面未加线条的为线性磁阻, 空气隙的磁阻就是线性磁阻。

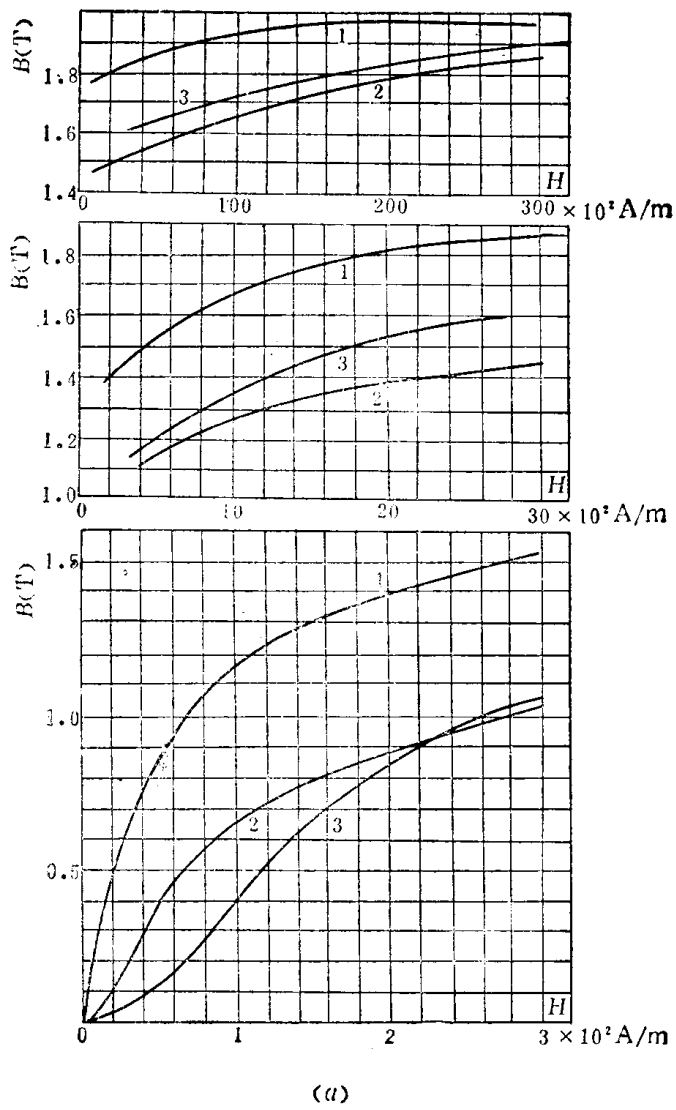
[解] 绘出磁路的中心线并把磁路划分为铁心长度 l_1 、 l_2 与气隙长度 l_a 三段, 如图 0-4(a) 所示, 各段长度为

$$l_1 = 240 - 40/2 - 40/2 - 5 = 195 \text{ mm} = 0.195 \text{ m}$$

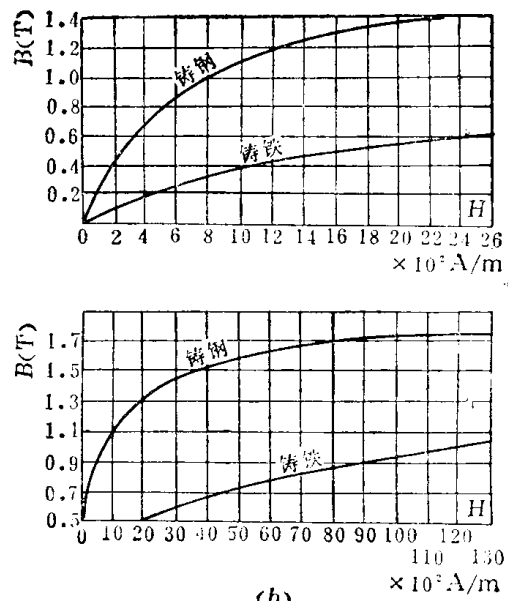
$$\begin{aligned} l_2 &= (240 - 40/2 - 40/2) + [(190 - 40/2 - 60/2) - 480 \text{ mm}] \\ &= 0.43 \text{ m} \end{aligned}$$

表 0-1 磁路与电路的对比

| 电 路 | 磁 路 |
|---|---|
| 电流 I | 磁通 ϕ |
| 电势 E | 磁势 F |
| 电压降 IR | 磁压降 ϕR_m |
| 电阻 $r = \frac{l}{\gamma S}$ (其中 γ 是电导率) | 磁阻 $R_m = \frac{l}{\mu S}$ (其中 μ 是磁导率) |
| 电导 $g = \frac{1}{r}$ | 磁导 $\lambda_m = \frac{1}{R_m}$ |

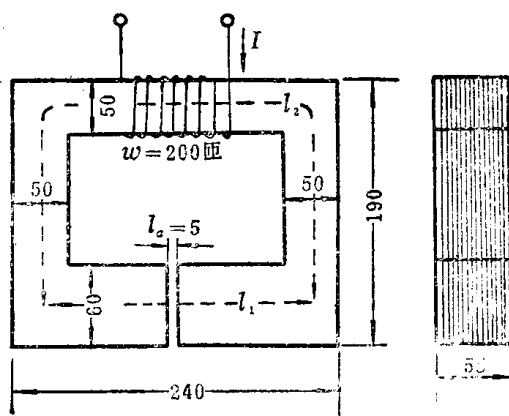


(a)

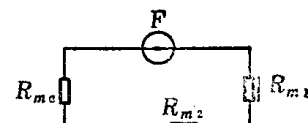


(b)

图 0-3 常用材料磁化曲线
 (a) 电工钢片; (b) 铸钢与铸铁
 1—D330冷轧硅钢片; 2—D41热轧硅钢片; 3—D11热轧硅钢片



(a)



(b)

图 0-4 例 0-1 用图
 (a) 实际磁路图; (b) 等效电路图